日本産科婦人科学会雑誌 ACTA OBST GYNAEC JPN Vol. 52, No. 6, pp.830—834, 2000(平成12, 6月)

診療

子宮留腫における経腟超音波所見の形態分類について

新日鐵室蘭総合病院産婦人科 *みずうち産科婦人科 佐藤賢一郎 水内英 充*

Classification of Transvaginal Ultrasonographic Findings of Pyometra, Hydrometra and Hematometra

Ken-ichiro Sato and Hidemitsu Mizuuchi*

Department of Obstetrics and Gynecology, Shinnittetsu Muroran General Hospital, Hokkaido
*Mizuuchi Women's Clinic, Hokkaido

Abstract 32 patients with hydrometra, 14 patients with pyometra and 5 patients with hematometra were examined with transvaginal ultrasonography for an echo pattern classification that has two components, one is the shape of the intrauterine wall and the other is the echo pattern of retained fluid. The shape of the uterine wall is classified into 5 patterns-type I: smooth and symmetrical streamline, type II: smooth and large curved line, type III: smooth local protuberance of a papilla, a sphere and a hill, etc., type V: jagged lined local protuberance. The echo pattern of retained fluid is classified into 4 patterns-type a: sonoluscent, type b: scatter echo, type c: linear echo, type d: jagged massive echo, and type b is classified into 3 subtypes: 1. total, 2. partial, 3. horizontal. We came to the conclusion that type b (scatter) frequently indicates pyometra (71.4%), type a (sonoluscent) frequently shows hydrometra (100%), and types I and II a few cervical malignant lesions and types IV and V frequently show the presence of malignant lesions in the uterine cavity. Transvaginal ultrasonography is useful to differentially diagnose pyometra, hydrometra and hematometra.

Key words : Classification of transvaginal ultrasonographic findings · Differential diagnosis · Pyometra · Hydrometra · Hematometra

緒言

子宮留腫は、子宮腔内に各種貯留液が存在する 病態であり、貯留液の性状により留膿腫、留水腫、 留血腫に区別される. 体部の癌病巣の存在も含め たこれらの診断は子宮内膜細胞診、組織診が施行 できて子宮腔内貯留液の性状が確認できれば困難 ではない. しかし、そもそも留膿腫、留水腫、留 血腫発生の要因の一つとして子宮頸管の狭窄・閉 鎖が関わっているため、子宮腔内の検索が極めて 困難な場合があり得る. 特に、 留膿腫の場合は潜 在的であれ感染を伴っているため、将来種々の臨 床症状,合併症を発現し得る可能性を秘めている. また、留水腫であれば臨床上問題は少なく悪性腫 瘍の合併に注意し経過観察でもよいであろうが, 留血腫の場合は経卵管的な腹腔内への血液逆流り や, 続発する卵管留血腫の破裂2)による急性腹症も 報告されている. つまり、体部の癌病巣の存在を 含めたこれらの鑑別はその後の経過観察、治療方 針にも関わるため臨床的に重要である。そこで、

我々は以前より経腟超音波法による子宮留腫の鑑別診断、および体部の癌病巣の存在の有無の推定診断が可能か否か検討を行ってきた³. 今回,さらに症例数を重ね子宮留腫の経腟超音波所見の形態分類についての試案を作成し、これらの鑑別診断の可能性について再検討を行った.

研究方法

対象は1994年4月より1999年10月までの間に、 我々が経験した経腟超音波所見の得られた留水腫 32例、留膿腫14例、留血腫5例の計51例である。 このうち子宮頸・体部悪性腫瘍合併例は留膿腫5 例(体癌3例、頸部扁平上皮癌1例、頸部腺癌1 例)、留水腫4例(体癌1例、頸癌3例)、留血腫1 例(体癌1例)であり、体部に癌病巣の存在する例 は体癌5例、頸部腺癌の体部浸潤1例の計6例で あった。

経腟超音波所見の形態分類は, 既報³の診断基準 および各症例を再検討し, 留腫辺縁の形状と留腫 内容のエコー所見の組み合わせで試案を作成し 2000年 6 月 佐藤他 831

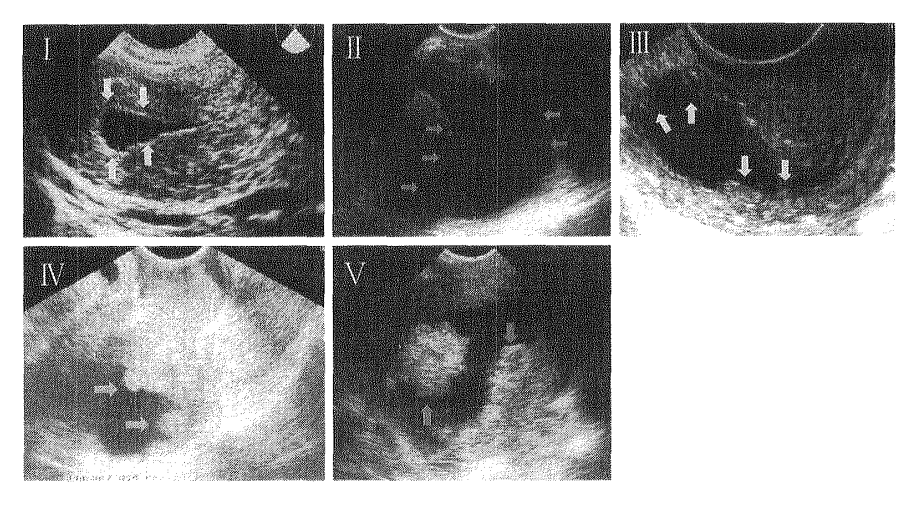


図1 子宮留腫辺縁の形状分類

I:type I は辺縁のなめらかな、ほぼ対称的な流線型、II:type II は辺縁のなめらかな、全体として大きな曲線的な変形(局所的な隆起・突出像ではない)。Ⅲ:type II は辺縁 鋸歯状不整、IV:type IV は辺縁のなめらかな乳頭状・半球〜球状・丘状などの局所的な隆起・突出像、V:type V は辺縁の不整な乳頭状・半球〜球状・丘状などの局所的な隆起・突出像

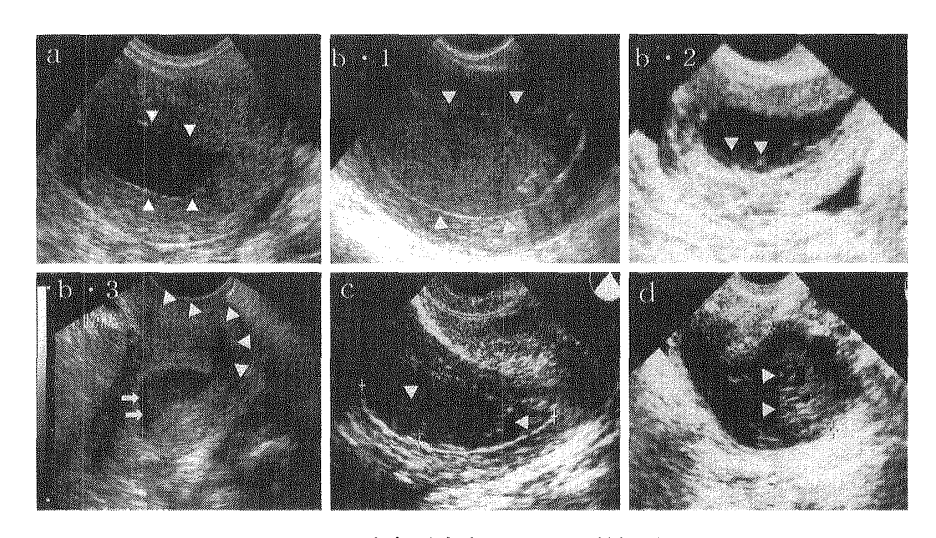


図2 子宮留腫内容のエコー所見分類

a: type a は無エコー(矢頭)である。b: type b は scatter (点状散乱体)を有するものである。Scatter の分布によりさらに b・1-全体的(矢頭), b・2-部分的(矢頭), b・3-鏡面形成(矢印), の3パターンに分類した。また, b・3は18歳子宮留膿腫例であり,後傾前屈(矢頭)が強いためと推察された。c: 線状エコー(矢頭)を有するものである。d: 塊状不整形エコー(矢頭)を有するものである。

た、留腫辺縁の形状は type I:辺縁のなめらかな、ほぼ対称的な流線形、type II:辺縁のなめらかな、全体として大きな曲線的な変形(局所的な隆起・突出像ではない)、type II:辺縁鋸歯状不整、type IV:辺縁のなめらかな乳頭状・半球~球状・丘状などの局所的な隆起・突出像、type V:辺縁の不整な乳頭状・半球~球状・丘状などの局所的な隆起・突出像、の5つのパターンに分類した(図1、3). 留腫内容のエコー所見は type a:無エコー、type b:scatter(点状散乱体)を有するもの、

type c:線状エコーを有するもの, type d:塊状不整形エコーを有するもの, の4つのパターンに分類し, さらに type b は scatter の分布により, 1.全体的, 2. 部分的, 3. 鏡面形成, の3つのパターンに分類した(図2, 3). 例えば辺縁はなめらかで対称的な流線型で, 留腫内容が部分的に scatterを有する所見は type I-b・2と表現した.経腟超音波法は Mochida sonovista-CS, Aloka SSD650CL, いずれも発振周波数5Mz の経腟プローブを用いた.全例に頸部・体部細胞診, および必要に応じ

子宮留水腫



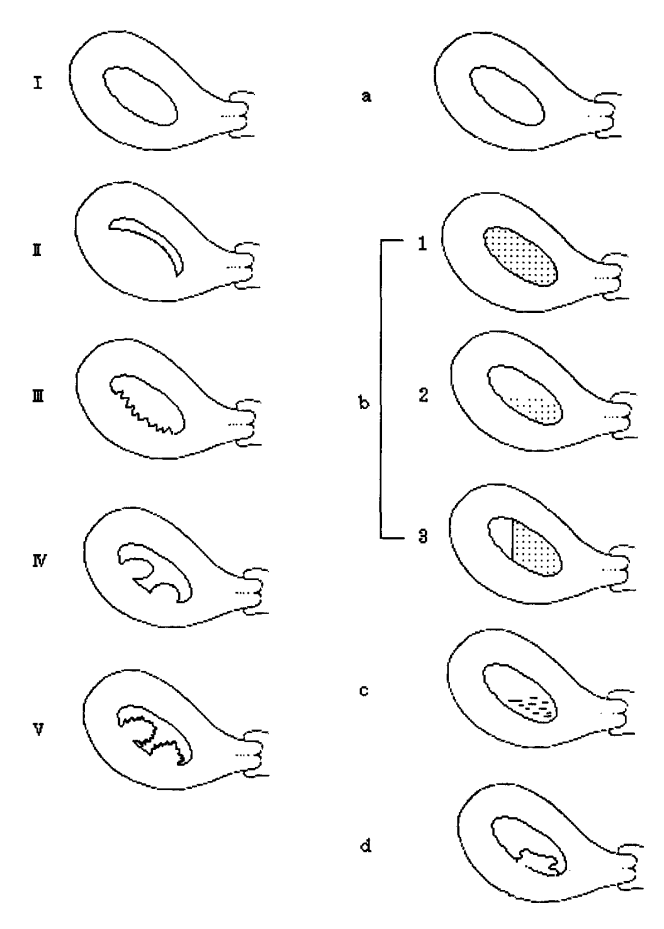


図3 子宮留腫形態分類の模式図 I~Vは子宮留腫辺縁の形状分類の模式図で、a~d は留腫内容所見の分類の模式図である.

組織診を施行し、診断を確定した. なお用語上、 臨床症状を伴う場合は留膿症、留血症とすべきだ が、便宜上症状を伴う場合でも留膿腫、留血腫と 呼称した.

研究成績

留膿腫14例中5例35.7%に悪性腫瘍の合併が認められた.一方, 留水腫では32例中4例12.5%の悪性腫瘍合併率であった.

以下に各留腫ごとに経腟超音波所見の成績を示す(表1).

1) 留膿腫:14例の年齢は18~88歳,平均年齢 70.0歳,13例92.9%は閉経後症例であった.14例をまとめると,type b は10例71.4%,type I が 8 例 57.1%,type I-b が 6 例42.9%と留腫辺縁のパターンは type I が多く,留腫内容のパターンは type b が多く認められた.また,留腫内容 type b・3 の 3 例では,いずれも頸管側に scatter 部分を有していた.18歳の 1 例は type I-b・3 を示し,本症例は以前当科にてクラミジア感染の治療歴があり,下腹部痛で受診したところ経腟超音波所見にて留膿腫又は留血腫が疑われ,ドレナージにより留膿腫が確認された.

表1 各留腫のパターン別成績

子宮留膿腫

		b				d		_	b			_	1	
	a	1	2	3	. с	u		a	1	2	3	- с	d	
Ι	0	2	1	3	0	2	I	28	0	0	0	0	0	
Π	1	0	0	0	0	0	П	3	0	0	0	0	0	
${ m I\hspace{1em}I}$	0	0	0	0	1	0	Ш	0	0	0	0	0	0	
IV	0	0	1	0	0	0	IV	1	0	0	0	0	0	
V	0	0	3	0	0	0	V	0	0	0	0	0	0	
	子宮留血腫 							悪性腫瘍合併例 						
	a ·	1	2	3	c	d		a	1	$\frac{3}{2}$	3	- с	d	
I	0	1	0	0	0	2	I	3	0	0	1	0	0	
Π	1	0	0	0	0	0	11	0	0	0	0	0	0	
Ш	0	0	0	0	0	0	Ш	0	0	0	0	0	0	
IV	0	0	0	0	0	0	IV	1	0	1	0	0	0	
V	1	0	0	0	0	0	V	1	0	3	0	0	0	

網掛け部分は,体癌および頸部腺癌の体部浸潤症例で体部 に癌病巣が存在する例を示している。

- 2) 留水腫:32例の年齢は51~81歳,平均66.7歳,全例閉経後であった.特に,留水腫が原因と考えられる臨床症状を示した例は存在しなかった.32例中,留腫内容はすべて無エコーであるtype a で,悪性腫瘍合併4例でもtype a であったが,3例は頸癌で子宮体部浸潤のない状態であった。また,留腫辺縁のパターンはtype I が28例中87.5%であり,全体としてtype I-a が28例を占めた.
- 3) 留血腫:年齢は25, 29, 66, 68, 71歳であった. type I-d が 2 例, type I-b・1, type II-a, type V-a が 1 例ずつ認められた. 71歳の 1 例は type II-aを示し、子宮頸癌Ⅲa 期放射線治療後経過観察をしていた症例で、66歳の 1 例は type I-b・1で、子宮脱を認め術前処置としてエストリオール投与施行していた症例であった。閉経前の 2 例はいずれも下腹部痛を主訴に受診した症例で、1 例は D&C 後 3 カ月間無月経が続いていた例で、1 例は D&C 後 3 カ月間無月経が続いていた例で、他の 1 例は骨盤腹膜炎治療後 2 カ月間無月経が続いていた例であった。これら 2 例は受診時に頸管の狭窄が認められ、頸管の開大とドレナージにより小凝血塊と淡血性な内容液が得られ症状は軽快した。また、子宮体癌を合併した68歳の 1 例は type V-aを示した.
- 4) 悪性腫瘍合併例:あらためて悪性腫瘍合併 10例を分類する.年齢は57~90歳,平均69.7歳で全 例閉経後であった.悪性腫瘍の内訳は,体癌5例, 頸部扁平上皮癌4例—うち上皮内癌1例, Ia1期1

833

例, Ib1期1例, Ⅲb 期1例—, 頸部腺癌の体部浸潤1例であった。

このうち留腫辺縁がtype IV, Vを示した6例では全例に体部に病巣が存在しており、type Iを示した4例は全例体部浸潤のない頸部病変のみの症例であった。また、type IV, Vの留腫辺縁の乳頭状・半球~球状・丘状突出部分は6例全例で子宮筋層、留腫内容と比較し高輝度エコーを呈していた。

考 案

子宮留腫の臨床的意義として、留膿腫では悪性 腫瘍の合併460や慢性炎症→内膜魚鱗症(角化を伴 う扁平上皮化生による内膜置換)を介した子宮内 膜扁平上皮癌の発生への関わりが、炎症症状が、子 宮穿孔899などの合併症が知られている.悪性腫瘍 の合併に関しては、子宮悪性腫瘍の1.5~4.0%に留 膿腫が合併50し, 留膿腫の7.7~44.4%に子宮悪性腫 瘍が合併⁵⁾¹⁰⁾するとの報告がある。今回の我々の成 績でも留膿腫の35.7%に悪性腫瘍の合併(体癌3 例,頸部腺癌 1 例,頸部扁平上皮癌 1 例)がみられ た、留膿腫の頻度は婦人科外来患者の0.01~0.5 %5000110で、閉経後婦人に多く60歳以上の高齢者の 13.6%に認められたとの報告20がある. また, 子宮 頸管の狭窄・閉鎖、寝たきりの状態、尿・便失禁 が発生要因として大きく関わっていることが指摘 されている12). 今回の我々の症例でも、留膿腫14 例中13例92.9%が閉経後症例であった. 近年の高 齢化社会の傾向を考えた場合、今後子宮留膿腫の 頻度は増加する可能性が示唆される. また、閉経 前留膿腫の18歳の症例は超音波所見上後傾前屈が 強く、おそらくそのための膿排泄障害、膿貯留が 起こったものと推察している(図 2b・3). Deutchman and Hartman は産褥16日目に留膿腫が判明 した29歳の症例を報告30しており、また経頸管的 子宫内膜切除術‧破壊術49, 子宮頸部凍結療法後 の発生例の報告150もあり、留膿腫は閉経後症例が 多数を占めるものの、決して閉経後のみに発生す る疾患ではないことも認識する必要があろう.

留血腫については、処女膜閉鎖や閉鎖腔を有する子宮奇形に伴う報告180177が多いが、子宮頸部円錐切除術180189、ホルモン補充療法に合併する例2802年12なも報告されている。留血腫から合併した卵管留血腫の破裂による腹膜炎の報告20や、急性腹症を呈し虫垂炎との鑑別が困難であった症例の報告10などもなされており、また感染の温床となる可能性220も忘れてはならない。今回、萎縮性膣炎の治療の目的でエストリオール投与中に発生した留血腫の1例が認められた。Pansini et al.200は周期的ホルモン補充療法中に急性腹症を呈した留血腫の1例を報告しており、Vernooij et al.210も子宮頸癌放射

線療法後のホルモン補充療法例で留血腫をきたした2例を報告している。近年、本邦でもホルモン補充療法が広く行われるようになったため、今後同様の症例の報告が増加する可能性もあり注意が必要と思われる。また、悪性腫瘍の合併に関する報告²³⁾は散見されるのみでありその頻度は明確ではないが、今回の我々のデータでは5例中1例20%の悪性腫瘍(体癌)の合併率となった。Scheerer and Bartolucci²³⁾は2例の留血腫合併体癌の報告をしており、彼らは留血腫は体癌の浸潤による2次的な発生であろうと推測している。

子宮留水症に関しては,それ自体は臨床的な意 義は少ないと思われるが、悪性腫瘍との関連につ いて示唆する報告ニムウzō)が認められている. 尿失禁の 主訴にて受診したところ子宮留水腫が認められ、 再発するため粘液産生腫瘍を疑い子宮頸部腺癌が 発見された報告例24)もある。今回の我々の成績で も、32例中4例12.5%に子宮悪性腫瘍が合併して いた。32例中体癌は1例3.1%で、留膿腫に比較し てその合併率は高くはないが、本邦での子宮体癌 の一般の罹患率 4~5人/女性人口10万人26), 老健 法扱いでの検出率約0.1%20などから考えると、頻 度的にも決して少なくないものと思われる. 他の 3例は頸癌症例で上皮内癌1例, Ia1期1例, Ib1 期1例であり、これらの症例は腫瘍が関与した頸 部狭窄による留水腫とは考え難く, 単に年齢を反 映したものとも考えられるが、いずれにしても留 水腫においても悪性腫瘍の合併には注意を払う必 要があることにかわりはないであろう.

従来、超音波法による子宮留腫の鑑別診断の報 告の多くは経腹法によりなされているが28/~31/, い ずれもその困難性を指摘している. しかし, 経腟 超音波法は子宮の観察に関していえば、経腹法と 比較しその解像度は飛躍的に改善されており、同 一には論じられない. 経腟超音波法による子宮留 腫の鑑別診断の報告23/32/については, 散見されるの みである。今回、既報3にさらに症例を重ね、まず 形態分類を試みたうえで鑑別診断について再検討 を行うこととした. 形態分類を行うことにより, より各留腫、悪性腫瘍合併の経腟超音波所見の特 徴が明確となるものと考えたためである. 今回の 検討より、留腫内容が type b の scatter の場合は 留膿腫の可能性が高く、type a の無エコーの場合 には留水腫の可能性が高いこと、および良性の場 合は留腫辺縁のパターンは type I, Ⅱの辺縁がな めらかなパターンを示し、体部に癌病巣が存在す る場合は乳頭状・半球~球状・丘状などの隆起・ 突出像を示す type IV, Vのパターンを示すこと が特徴的と考えられた.

経腟超音波法はその限界はあるものの, 簡便,

低侵襲で、反復検査が容易であり各種子宮留腫、 癌病巣の存在の有無の鑑別診断もある程度可能で あることが示唆された. 高齢化社会が進む現状に おいては子宮留腫の増加も見込まれ、その経腟超 音波所見についての形態分類は鑑別診断、カルテ の記載、コミニケーション上のいわば共通言語と なり得るなど臨床上、有意義であると考える次第 である.

文 献

- Huang E, Howell J. Hematometra presenting as acute appendicitis: a case report. Am J Emerg Med 1988; 6:350—352
- 2. Kinjo K, Kasai T, Ogawa K. Hematometra and ruptured hematosalpinx with ipsilateral renal agenesis presenting as diffuse peritonitis: a case report. Am J Emerg Med 1988; 6:350—352
- 3. 佐藤賢一郎,水内英充,寒河江悟,伊東英樹.子 宮留症の経腟超音波法による鑑別診断について. 産と婦 1996;63:833-837
- 4. Henriksen E. Pyometra associated with malignant lesions of the cervix and the uterus. Am J Obstet Gynecol 1956; 72:884—895
- 5. Muram D, Drouin P, Thompson FE, Oxorn H. Pyometra. Canad Med Ass J 1981; 125: 589—592
- 6. Kay S. Squamous cell carcinoma of the endometrium. Am J Clin Pathol 1974; 61: 264—274
- 7. Abernathy WS. Pyometra presenting as fever of unknown origin. Obstet Gynecol 1973; 42:775—777
- 8. Inui A, Nitta A, Yamamoto A, Kang SM, Kanehara I, Tanaka H, Nakamura S, Mandai H, Nakao S. Generalized peritonitis with pneumoperitoneum caused by the spontaneous perforation of pyometra without malignancy: report of a case. Surg Today 1999; 29:935—938
- 9. *Gita R, Jain K, Vaid NB*. Spontaneous rupture of pyometra. Int J Gynaecol Obstet 1995; 48:111—112
- Karpathios S, Prevedourakis C, Papadias C, Lolis D. Pyometra. Int J Gynaecol Obstet 1976; 14:477—479
- 11. *Imachi M, Tanaka S, Ishikawa S, Matsuo K*. Spontaneous perforation of pyometra presenting as generalized peritonitis in a patient with cervical cancer. Gynecol Oncol 1993; 50:384—388
- 12. 赤澤憲治, 高森久純, 安田 博. 老年婦人の子宮 留膿症—外来統計にみるその特徴—. 日産婦誌 1991; 43:1539—1545
- 13. Deutchman ME, Hartman KJ. Postpartum pyometra: A case repot. J Family Prac 1993; 36: 449—452
- 14. *Amin-Hanjani S*, *Good JM*. Pyometra after endometrial resection and ablation. Obstet Gynecol 1995; 85:893—894
- Curry SL, Weed JC Jr, Creasman WT. Pyometra. A complication of cervical cryosurgery. Obstet Gynecol 1972; 40: 499—501
- 16. Loong EP, Yuen PM. Acute urinary retention

- caused by a unilateral hematometra. Arch Gynecol Obstet 1990 ; 247:211-213
- 17. Lang N, Stark H, Ohel G. Unilateral hematometrocolpos associated with double uterus. Clin Exp Obstet Gynecol 1995; 22: 289—292
- Pschera H, Kjaeldgaard A. Haematocervix after conization diagnosed by ultrasonography. Gynecol Obstet Invest 1990; 29: 309—310
- Giannacopoulos K, Troukis E, Constandinou P, Rozis I, Kokonakis C, Giannikos L. Hematometra and extended vaginal haematoma after laser conization. A case report. Eur J Gynaecol Oncol 1998; 19:569—570
- 20. Pansini F, Campobasso C, Bonaccorsi G, Calisesi M, Defazio DD, Perri G, Mollica G. Haematocervix during hormonal replacement therapy. Eur J Obstet Gynecol Reprod Biol 1993; 51:167—169
- 21. Vernooij CB, Kruitwagen RF, Rodrigus P, Kock HC, Feyen HW. Hematometra after radiotherapy for cervical carcinima. Gynecol Oncol 1997; 67: 325—327
- 22. Lashley DB, Thomas RD, Silberberg PJ, Skoog SJ.

 Management of an infected hematometrocolpos in
 a patient with congenital adrenal hyperplasia and
 vaginal stenosis. J Urol 1998; 160: 508—509
- 23. Scheerer LJ, Bartolucci L. Transvaginal sonography in the evaluation of hematometra. J Reprod Med 1996; 41:205-206
- 24. Daw E. Hydrometra and hydrorrhoea in association with endometrial carcinoma. J Obstet Gynaecol Br Commonw 1969; 76: 944
- 25. 丸山正統,川嶋美穂子,中野英之,金森圭司,中田真木,園田隆彦,荻野雅弘. 尿失禁を主訴とし子宮留水腫を呈した子宮頚部腺癌の1例. 日癌治誌 1999;34:336
- 26. 宇田川康博. 第1章 疫学 罹患率と死亡率. 野澤志朗編 子宮体癌の診断と治療 大阪:永井書店 1999;1—2
- 27. 蔵本博行. 第2章 診断I 体癌検診. 野澤志朗編 子宮体癌の診断と治療 大阪:永井書店 1999; 17-26
- 28. **関場 香**, 赤松信雄, 丹羽国泰, 青野 要, 福本 悟, 山下浩一, 宇埜 昭. 子宮貯留腫の超音波断 層像. 日超医論文集 1980; 36:211—212
- 29. 村尾文規, 平山恵子, 岩成 治, 長谷川清, 北尾 学. 超音波断層法による子宮留症の診断. 日産婦 誌 1989;41:1591—1594
- 30. Wilson DA, Stacy TM, Smith EI. Ultrasound diagnosis of hydrocolpos and hydrometrocolpos. Radiology 1978; 128: 451—454
- 31. Scott WW, Rosenshein NB, Siegelman SS, Sanders RC. The obstructed uterus. Radiology 1981; 141: 767—770
- 32. Carlson JA, Arger P, Thompson S, Carlson EJ. Clinical and pathologic correlation of endometrial cavity fluid detected by ultrasound in the postmenopausal patient. Obstet Gynecol 1991; 77: 119—123

(No. 8090 平12·1·5 受領,平12·2·7 採用)